

Άξιωμα: \exists τουλάχιστον 1 χάρδος

Κομφούκιος
Confucius
Kōng Fūzǐ
孔夫子

551 - 479 π.Χ.

↓
Μάικη
Πλαταιών

το ΑΚΟΥΩ και το ΞΕΧΝΩ
το ΒΛΕΠΩ και το ΘΥΜΑΜΑΙ
το ΚΑΝΩ και το ΚΑΤΑΛΑΒΑΙΝΩ

Παραδόσεις μου

εμπειώσεις σας

η-τάξη (εμπειώσεις παραδόσεων

η-βιβλίο

λυμένα θέματα παλαιών ετών

άσκησης

ευνδελφί βίντεο διαλέξεων

↓
delos.uoa.gr

2015, 2019
(2020)

↓
youtube

2019

ΩΡΑΡΙΟ

ΠΕ 16:00 - 18:00

ΠΑ 16:00 - 18:00

2η κβάντωση

2nd quantization

Η αναπαράσταση με τελεστές καταστροφής και δημιουργίας, συλ. με τελεστές κλίμακας.

(καταβιβάζω)

(αναβιβάζω)

ladder operators

annihilation operator
(lowering)

creation operator
(raising)

φωτόνια (μποζόνια)

ηλεκτρόνια (φερμιόνια)

τα μποζόνια μετατίθενται

τα φερμιόνια αντιμετατίθενται

$[A, B] := AB - BA$ μεταθέτης
commutator

$\{A, B\} := AB + BA$ αντιμεταθέτης
anticommutator

αν $[A, B] = 0 \Rightarrow AB = BA$
μετάθεση commutation

αν $\{A, B\} = 0 \Rightarrow AB = -BA$
αντιμετάθεση anticommutation

μεταθετική ιδιότητα
commutative property

αντιμεταθετική ιδιότητα
anticommutative property

οι τελεστές, οι οποίοι περιγράφουν
καταστροφή και δημιουργία μποζονίων
άκολουθούν σχέσεις μεταθέσεως

οι τελεστές, οι οποίοι περιγράφουν
καταστροφή και δημιουργία φερμιονίων
άκολουθούν σχέσεις αντιμεταθέσεως.

ΚΒΑΝΤΙΚΗ ΟΠΤΙΚΗ και LASERS

4 κεφάλαια (συνιδως) 1 κεφάλαιο

ΚΕΦ.1 Είσαγωγή στη κβαντική φύση του φωτός

* μέλαν σώμα και συναφείς έννοιες

* $\rho(\nu, T) d\nu$ $\left[\rho(\nu, T) \right] = \frac{J}{m^3 Hz}$ $\left[\rho(\nu, T) d\nu \right] = \frac{J}{m^3}$

↑ συχνότητα ↑ θερμοκρασία
↓ πυκνότητα ενέργειας ΗΜ ακτινοβολίας
σε στοιχειώδη περιοχή συχνότητας,
μέλανος σώματος,
σε θερμοδυναμική ισορροπία

* νόμοι Rayleigh-Jeans, Wien, Planck ... για την ακτινοβολία μέλανος σώματος
↓ κλασικός ↓ ταίριασμα ↓ κβαντικός
θεωρία με πείραμα θεωρία
σε υψηλές συχνότητες

* νόμος Stefan-Boltzmann

→ 1η διατύπωση	$\rho(T)$ πυκνότητα ενέργειας
	$\left[\rho(T) \right] = \frac{J}{m^3}$
→ 2η διατύπωση	I ένταση ακτινοβολίας
	$\left[I \right] = \frac{J}{m^2 \cdot s} = \frac{W}{m^2}$

* Ξφ. Maxwell, συνοριακές συνθήκες σε διεπιφάνεια, ..., πεδία σε κοιλότητες

* $g(\nu) = \frac{dN}{d\nu} = \frac{d(\# \text{ κανονικών τρόπων ΗΜ πεδίου})}{d(\text{συχνότητα})}$ normal modes & συχνότητες
κανονικοί τρόποι & μορφές

* $g(\nu)$ κ κλασική φυσική (θεώρημα ισοκατανομής ενέργειας) → v. Rayleigh-Jeans

* $g(\nu)$ κ κάποιες κβαντικές σχέσεις → v. Planck

* νόμος μετατόπισης Wien $\lambda_0 T = \text{σταθερά}$ $\eta \frac{\nu_0}{T} = \text{σταθερά}$

* φωτον/ηλεκτρικά φαινόμενα

ΚΕΦ.2 Μηχανισμοί αλληλεπίδρασης

ΗΜ ακτινοβολίας - ΔΣ

Εφαρμοσμένη Απορρόφηση
(Stimulated) Absorption

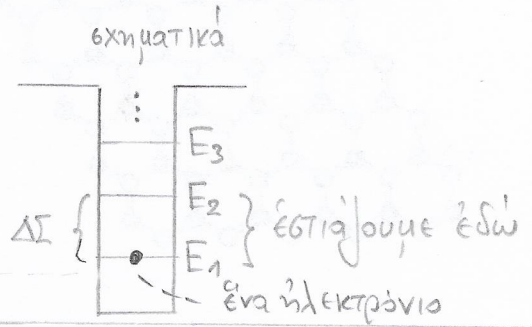
Αυθόρμητη Έκπομπή
Spontaneous Emission

Εφαρμοσμένη Έκπομπή
Stimulated Emission

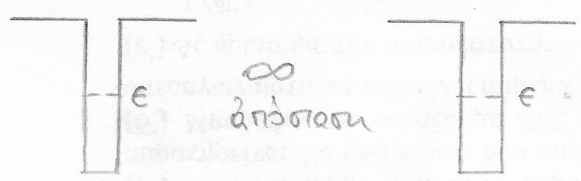
ΗΜ = ηλεκτρομαγνητικός
 ΔΣ = δισταθμικό σύστημα (two-level system)
 ΜΣ = μονοσταθμικό σύστημα
 ΤΣ = τρισταθμικό σύστημα
 ΠΣ = πολυσταθμικό σύστημα
 ΔΣ π.χ. 2 στάθμες ενός ατόμου, μορίου, κβαντικής τελείας (quantum dot) ή άλλως νανοσωματιδίου (nanoparticle)

LASER = Light Amplification by Stimulated Emission of Radiation

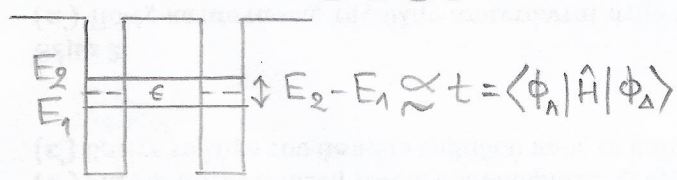
~ σε όλο το μήκος κύματος ακτινοβολεί το spin του ηλεκτρονίου ...



πώς φτιάχνουμε ΔΣ από ΜΣ...



ΕΞΗΓΗΣΗ ΑΡΓΟΤΕΡΑ

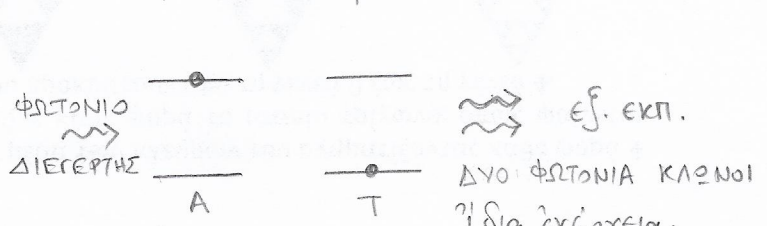
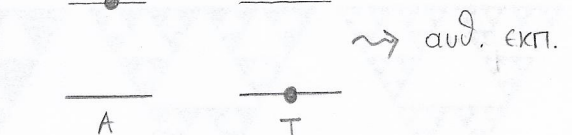


t: η αλληλεπίδραση μεταξύ των φρεάτων
 t: transfer integral
 ολοκλήρωμα μεταβιβάσεως

$dW_{\text{απορ}}^{\text{ΕΣ}} = B_{12} \rho(\nu, T) dt$ Εφαρμοσμένη Απορρόφηση

$dW_{\text{εκπ}}^{\text{αυθ}} = A_{21} dt$ Αυθόρμητη Έκπομπή

$dW_{\text{εκπ}}^{\text{ΕΣ}} = B_{21} \rho(\nu, T) dt$ Εφαρμοσμένη Έκπομπή



$E_{\phi} = h\nu$
 $P_{\phi} = \frac{E_{\phi}}{c}$

ιδιότητες που έχει το LASER

- Ίδια ενέργεια ⇒ μονοχρωματικότητα monochromaticity
- Ίδια όρμη ⇒ κατευθυντικότητα directionality
- Ίδια φάση ⇒ συνοχή coherence (συμφωνία)
- Ίδια πόλωση ⇒ πολωμένο φως polarization

Ίδια ενέργεια, όρμη (κατεύθυνση), φάση, πόλωση

ΚΕΦ.3 Ημικλασική αντιμετώπιση της αλληλεπίδρασης ΗΜ ακτινοβολίας - ΔΣ

- ΗΜ πεδίο: κλασικά
- ΔΣ: κβαντικά

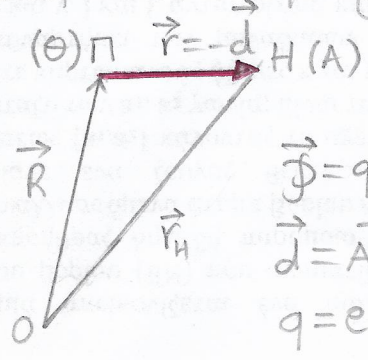
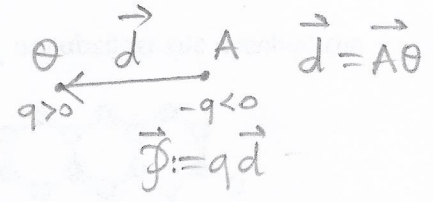
$$\hat{H} = \hat{H}_0 + U_E(\vec{r}, t)$$

χωρίς ΗΜ πεδίο

- * αδιατάρακτο ΔΣ: χωρίς ΗΜ πεδίο
- διαταραχμένο ΔΣ: εντός ΗΜ πεδίου

χρονικά εξαρτημένη θεωρία διαταραχών

- * Διπολική Ροπή. Προέκταση Διπόλου



$$\vec{p} = q\vec{d}$$

$$\vec{d} = A\theta$$

$$q = e > 0$$

$$\Rightarrow \vec{p} = q\vec{d} = e(-\vec{r}) \Rightarrow \vec{p} = -e\vec{r}$$

$U_E = -\vec{p} \cdot \vec{E}$ ΔΙΑΤΑΡΑΧΗ $U_E(\vec{r}, t)$

~ σε όλο το μάθημα αγνοούμε το spin
άρα και την αλληλεπίδραση

$U_B = -\vec{\mu} \cdot \vec{B}$ βελίδα 3'

$\lambda \gg a_0$

μήκος κύματος ακτίνα Bohr (n.χ. $\Delta\Sigma =$ άτομο)

οπτικά μήκη κύματος

$\lambda \sim 500 \text{ nm}$ $a_0 \sim 0.529 \text{ \AA} \sim 0.5 \cdot 10^{-1} \text{ nm}$

$\frac{\lambda}{a_0} \approx \frac{500 \text{ nm}}{0.5 \cdot 10^{-1} \text{ nm}} = 10^4$

δμογενής = ...
? εὐτροπος = ...

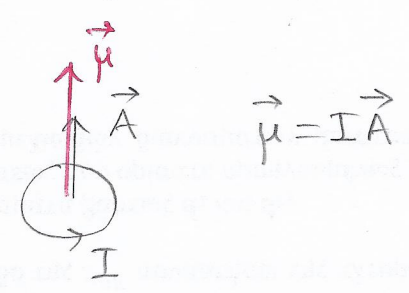
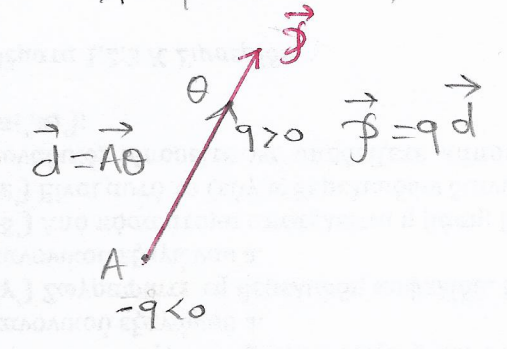
~ το ηλεκτρικό πεδίο έχει μόνο χρονική εξάρτηση...
άλλα είναι χωρικά δμογενής

- * χρονική εξέλιξη ΔΣ Συχνότητα Rabi
 - * RWA (Rotating Wave Approximation)
 - * 'Επιτρεπόμενες και 'Απαγορευμένες' Οπτικές Μεταβάσεις εντός της Προσεγγίσεως Διπόλου
- n.χ. στο άτομο Υδρογόνου

Υπερδύοιμοι Αναλογιών

\vec{E} (Ηλεκτρικό Πεδίο)

\vec{B} (Μαγνητικό Πεδίο)



$\vec{F} = q\vec{d}$ ηλεκτρική διπολική ροπή

$\vec{\mu} = I\vec{A}$ μαγνητική διπολική ροπή

$\vec{\mu} = \frac{q}{2m} (\vec{L} + g\vec{S})$

$U_E = -\vec{F} \cdot \vec{E}$ δυναμική ενέργεια

$U_B = -\vec{\mu} \cdot \vec{B}$

$\vec{\tau} = \vec{F} \times \vec{E}$ (μηχανική) ροπή

$\vec{\tau} = \vec{\mu} \times \vec{B}$

$[\vec{F}] = C \cdot m$

$[\vec{\mu}] = A \cdot m^2$

$[U_E] = C \cdot m \frac{V}{m} = CV = J$

$[U_B] = A \cdot m^2 \cdot T = N \cdot m = J$

$F = BIL$
 $N = TAm$

$[\vec{\tau}] = C \cdot m \cdot \frac{N}{C} = Nm$

$[\vec{\tau}] = A \cdot m^2 \cdot T = N \cdot m$

↑
το άρνησουμε έτσι

↑
το άρνησουμε έτσι

- ΗΜ πεδίο: κβαντικά
- ΔΣ: κβαντικά

φωτόνιο (μυζόνιο) καλόβολο
ήλεκτρόνιο (φερμιόνιο) άκατάδεκτο

ΜΠΟΡΟΥΜΕ ΝΑ ΣΥΜΠΥΚΝΩΣΟΥΜΕ ΗΛΕΚΤΡΟΝΙΑΣ

- * Χαμιλιτονιακή ΗΜ πεδίου με τελεστές καταστροφής και δημιουργίας φωτονίων (μυζόνιων)
 $\hat{H}_{ΗΜ,μ}$
- * Χαμιλιτονιακή ΔΣ με σπίνορες/ με τελεστές καταστροφής & δημιουργίας ηλεκτρονίων (φερμιονίων)
 $\hat{H}_{ΔΣ}$

- * Σχέσεις μεταθέσεως μυζόνιων commutation relations
- * Σχέσεις αντιμεταθέσεως φερμιονίων anticommutation relations

ΜΕΤΑΘΕΤΗΣ [A, B] = AB - BA όταν [A, B] = 0 ⇒ AB = BA
COMMUTATOR METATHETIKH IDIOTHTA commutative property

ΑΝΤΙΜΕΤΑΘΕΤΗΣ {A, B} = AB + BA όταν {A, B} = 0 ⇒ AB = -BA
ANTI COMMUTATOR ANTIMETATHETIKH IDIOTHTA

- * Χαμιλιτονιακή Αλληλεπίδρασης ΗΜ πεδίου - ΔΣ anticommulative property
 $\hat{H}_{Σ,μ} \hat{H}_{ΑΓ,μ}$ (άτομική φυσική)

* Χαμιλιτονιακή Rabi

$$\hat{H}_{R,μ} = \underbrace{\hbar \omega_m \hat{a}_m^\dagger \hat{a}_m}_{\text{ΗΜ πεδίο}} + \underbrace{\hbar \Omega \hat{S}_+ \hat{S}_-}_{\Delta \Sigma} + \hbar g_m \underbrace{(\hat{S}_+ + \hat{S}_-)}_{\text{ΗΜ πεδίο} - \Delta \Sigma} (\hat{a}_m^\dagger + \hat{a}_m)$$

ιδιοκαταστάσεις $|\uparrow, n_m\rangle$
χωρίς αλληλεπίδραση ΗΜ πεδίου $|\downarrow, n_m\rangle$
- ΔΣ

* Χαμιλιτονιακή Jaynes-Cummings

$$\hat{H}_{J,C,m} = \hbar \omega_m \hat{a}_m^\dagger \hat{a}_m + \hbar \Omega \hat{S}_+ \hat{S}_- + \hbar g_m (\hat{S}_+ \hat{a}_m + \hat{S}_- \hat{a}_m^\dagger)$$

- * Μέσες (διαμενόμενες) τιμές μεγεθών για την $\hat{H}_{J,C,m}$ $\langle \hat{a}_m^\dagger \hat{a}_m \rangle$, $\langle \hat{S}_+ \hat{S}_- \rangle$
 $\langle \hat{S}_+ \hat{a}_m \rangle$, $\langle \hat{S}_- \hat{a}_m^\dagger \rangle$

- * Απορρόφηση φωτονίου
 - * Έκπομπή φωτονίου
- ταλαντώσεις
- # φωτονίων στην κοιλότητα
 - # ηλεκτρονίων στην άνω στάθμη

ΜΠΟΖΟΝΙΑ

στιλέτο (dagger)

$$\hat{a}_m^\dagger$$

τελεστής δημιουργίας φωτονίου

τελεστής καταστροφής φωτονίου

κυκλική
τῶ ΗΜ τῆρου με συχνότητα ω_m

creation operator

annihilation operator

>>

Ταυτόχρονα, ὁ \hat{a}_m^\dagger μπορεί να ὀνομασθεῖ τελεστής ἀναβιβέως

raising operator

διότι ἀναβιβίζει τὴν ἐνέργεια κατὰ $\hbar\omega_m$

ὁ \hat{a}_m μπορεί να ὀνομασθεῖ τελεστής καταβιβέως

lowering operator

διότι καταβιβίζει τὴν ἐνέργεια κατὰ $\hbar\omega_m$

οἱ $\{\hat{a}_m^\dagger, \hat{a}_m\}$ τελεστές κλιμακῶν ladder operators

οἱ $\hat{a}_m^\dagger, \hat{a}_m$ ἀκολουθοῦν σχέσεις μεταθέσεως $[,]$

ΦΕΡΜΙΟΝΙΑ

\hat{S}_+ τελεστής ἀναβιβέως ἡλεκτρονίου $\hat{S}_+ | \circ \rangle = | \circ \rangle$

\hat{S}_- τελεστής καταβιβέως ἡλεκτρονίου $\hat{S}_- | \circ \rangle = | \circ \rangle$

Ταυτόχρονα, ὁ \hat{S}_+ δα μποροῦσε να ὀνομασθεῖ τελεστής δημιουργίας ἡλεκτρονίου
στὴν ἄνω στάθμη ΚΑΙ καταστροφῆς ἡλεκτρονίου στὴν κάτω
στάθμη

ὁ \hat{S}_- δα μποροῦσε να ὀνομασθεῖ τελεστής καταστροφῆς ἡλεκτρονίου
στὴν ἄνω στάθμη ΚΑΙ δημιουργίας ἡλεκτρονίου στὴν κάτω στάθμη

οἱ \hat{S}_+, \hat{S}_- ἀκολουθοῦν σχέσεις ἀντιμεταθέσεως φερμιονίων $\{, \}$

ἐναλλακτικὸς
συμβολισμὸς $\hat{a}_i^\dagger, \hat{a}_i$

ΣΧΕΣΕΙΣ ΜΕΤΑΘΕΣΕΩΣ ΜΠΟΖΟΝΙΩΝ
boson commutation relations

$$[\hat{a}_m, \hat{a}_l] = 0$$

$$[\hat{a}_m^+, \hat{a}_l^+] = 0$$

$$[\hat{a}_m, \hat{a}_l^+] = \delta_{ml}$$

ΣΧΕΣΕΙΣ ΑΝΤΙΜΕΤΑΘΕΣΕΩΣ ΦΕΡΜΙΟΝΙΩΝ
fermion anticommutation relations

$$\{\hat{a}_i, \hat{a}_j^+\} = \delta_{ij}$$

$$\{\hat{a}_i, \hat{a}_j\} = 0$$

$$\{\hat{a}_i^+, \hat{a}_j^+\} = 0$$

ΚΕΦ.5 LASERS

Laser He-Ne

Εξισώσεις ρυθμών για τους πληθυσμούς των σταθμών που συμμετέχουν στην έκποση συνεκτικής ΗΜ ακτινοβολίας και για την πυκνότητα ακτινοβολίας ρ ενός κοιλότητας LASER

$\frac{dN_1}{dt}, \frac{dN_2}{dt}, \frac{d\rho}{dt}$

Διαγώνιες και Έγκάρσιοι τρόποι ΗΜ πεδίου

Πληθυσμοί σταθμών και πυκνότητα ΗΜ ακτινοβολίας στη στάση κατάστασης.

"Αντίστροφα. Κρίσιμη "Αντίστροφα.

↓
Τι είναι

Αναστροφή πληθυσμού.

Αριθμητική επίλυση των εξισώσεων ρυθμών για τα N_1, N_2, ρ .
↑
matlab

Άλλα είδη LASER...

ΚΕΦ.6 Πίνακας Πυκνότητας

Καθαρή κατάσταση και μικτή κατάσταση

το σύστημα περιγράφεται από μια κυματοσυνάρτηση

δεν υπάρχει για καλά όρισμένη κυματοσυνάρτηση για το σύστημα

π.χ. το σύστημα είναι συζευγμένο με μια δεξαμενή με την οποία μπορεί να ανταλλάσσει θερμότητα, σωματίδια κλπ

Πίνακας Πυκνότητας - Τελείως πυκνότητα

$$\hat{\rho} = |\Psi\rangle \langle \Psi| \quad |\Psi\rangle = \begin{bmatrix} c_1(t) \\ c_2(t) \\ \vdots \\ c_n(t) \end{bmatrix} \quad |\Psi\rangle = \sum_k c_k(t) |\Phi_k\rangle$$

π.χ. Πίνακας πυκνότητας & τελεστής πυκνότητας
 σε καθαρή κατάσταση
 διαταθμικού συστήματος

$$\rho = \begin{bmatrix} c_1 c_1^* & c_1 c_2^* \\ c_2 c_1^* & c_2 c_2^* \end{bmatrix}$$

Η χρονική εξέλιξη του πίνακα πυκνότητας: εξ. Liouville - von Neumann

$$i\hbar \frac{\partial \hat{\rho}}{\partial t} = [\hat{H}, \hat{\rho}] \quad \hat{H} = \hat{H}_0 + U_\varepsilon(\vec{r}, t)$$

Η χρονική εξέλιξη του πίνακα πυκνότητας με μηχανικούς αποδιεγέρτες

$$i\hbar \frac{\partial \hat{\rho}}{\partial t} = [\hat{H}, \hat{\rho}] - \frac{i\hbar}{2} \{ \hat{\Gamma}, \hat{\rho} \}$$

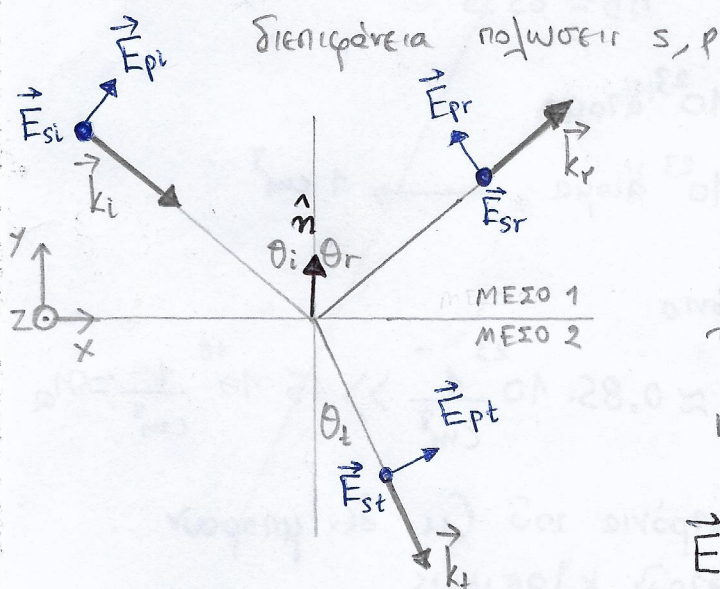
$$\hat{\Gamma} |\Phi_k\rangle = \gamma_k |\Phi_k\rangle$$

$$\hat{H} = \hat{H}_0 + U_\varepsilon(\vec{r}, t) - \frac{i\hbar}{2} \hat{\Gamma}$$

ΚΕΦ. 7 ΔΙΑΦΟΡΑ

Τεχνικές απογοιώσεως TEM₀₀ & TEM_{p'q'} άνωτέρων τάξεων

Εξισώσεις Fresnel, Γωνία Brewster (ή γωνία για την οποία \neq άνακλωμα p πόλωση)



σημ. $r_{TM} = 0$

$$\tan \theta_i = \frac{n_t}{n_i} = n$$

$\theta_i = \theta_B$ Brewster

$$t_{TM} = \frac{1}{n}$$

$$T + R = 1$$

↓

διατηρητικότητα...

$$\left. \begin{aligned} t_{TE} &= \frac{E_t}{E_i} \\ r_{TE} &= \frac{E_r}{E_i} \end{aligned} \right\} \begin{aligned} t_{TE} &= r_{TE} + 1 \\ r_{TM} &= \frac{E_r}{E_i} \end{aligned}$$

$$\left. \begin{aligned} t_{TM} &= \frac{E_t}{E_i} \\ r_{TM} &= \frac{E_r}{E_i} \end{aligned} \right\} r_{TM}^{-1} t_{TM}^{-1} = -1$$

$\vec{E}_s \perp q$ TE ή s πόλωση
 $\vec{E}_p \in q$ TM ή p πόλωση

Σπίνορας προσανατολισμός $(\vec{k}_i, \hat{n}) := q$

ΑΣΚΗΣΕΙΣ ΣΤΟ ΤΕΛΟΣ ΚΑΘΕ ΚΕΦΑΛΑΙΟΥ
ΠΡΟΣ ΔΥΣΗ

→ Έως +1 βαθμό

→ έσοφί με το γράμμα

ΕΙ 1 τουλάχιστον

Πόσοι-ες από 30 Έτος

πόσοι-ες αριθμητικές

πόσοι-ες είναι από την κατεύθυνση

A
B
Γ
Δ
Ε



Οι διάφορες στατιστικές που αναφέρονται παρακάτω θα αναλυθούν στο μάθημα της Στατιστικής Φυσικής. 11

με θερμοδυναμικούς έργους $\delta Q = dU + \delta W$
 $\delta W = p dV - \sum_i \mu_i dN_i$

κατάσταση i με ενέργεια E_i

$N = \text{ο αριθμός των σωματιδίων}$ $\beta := \frac{1}{k_B T}$

$\bar{n}_i = \text{ο μέσος αριθμός σωματιδίων στην κατάσταση } i \text{ με ενέργεια } E_i$ $\mu = \text{χημικό δυναμικό}$

Ένωσιαι $\#i \gg N$

- Η στατιστική Maxwell-Boltzmann (MB) αφορά κλασικά σωματίδια, για τα οποία θεωρούμε πως δεν υπάρχουν κρατιζόμενα ενεργειακά επίπεδα, π.χ. οι δομικοί λίθοι του κλασικού ιδανικού αερίου.

$$\bar{n}_i = \frac{1}{e^{\beta(E_i - \mu)}} = e^{-\beta E_i} e^{\beta \mu} \quad \text{(MB)}$$

$$\sum_i \bar{n}_i = N \Rightarrow \sum_i e^{-\beta E_i} e^{\beta \mu} = N \Rightarrow e^{\beta \mu} = \frac{N}{\sum_i e^{-\beta E_i}}$$

$$\bar{n}_i = \frac{N e^{-\beta E_i}}{\sum_i e^{-\beta E_i}}$$

Επειδή $\sum_i \bar{n}_i = N$ η σχέση αυτή καθορίζεται

- Η στατιστική Fermi-Dirac (FD) αφορά κρατιζικά σωματίδια,

τα οποία υπακούουν στην απαγορευτική αρχή Pauli

δηλ. μόνο ένα σωματίδιο μπορεί να καταλάβει μια κρατιζική κατάσταση. ΑΚΑΤΑΔΕΚΤΑ ΣΥΝΟΜΠ

Τα σωματίδια αυτά λέγονται φερμιόνια (fermions) και έχουν ιδιοστροφορμή (σπιν) s ημιφυσικό («ήμισακέραιο») πολλαπλάσιο $(1/2, 3/2, 5/2, \dots)$ της ποσότητας \hbar .

Τέτοια είναι π.χ. τα ηλεκτρόνια, πρωτόνια, νετρόνια.

Για τη στατιστική FD ισχύει:

$$\bar{n}_i = \frac{1}{e^{\beta(E_i - \mu)} + 1} \quad \text{(FD)}$$

- Η στατιστική Bose-Einstein (BE) αφορά κρατιζικά σωματίδια,

με την ιδιότητα ότι μια κρατιζική κατάσταση μπορεί να καταλαμβάνεται από άσπειροσβε σωματίδια. ΚΑΤΑΔΕΚΤΙΚΑ ΚΑΛΟΒΟΛΑ

Τα σωματίδια αυτά λέγονται μποζόνια (bosons) και έχουν ιδιοστροφορμή (σπιν) s φυσικό («ακέραιο») πολλαπλάσιο $(0, 1, 2, \dots)$ της ποσότητας \hbar .

Τέτοια είναι π.χ. τα φωτόνια, τα άτομα ${}^4_2\text{He}$, οι πυρήνες των ερυθρών ${}^4_2\text{He}$.

Για τη στατιστική BE ισχύει:

$$\bar{n}_i = \frac{1}{e^{\beta(E_i - \mu)} - 1} \quad \text{(BE)}$$

Σε σύστημα FD ή BE με σταθερό N , η σχέση $\sum_i \bar{n}_i = N$ καθορίζει το μ . 12

Συνοπτικώς, λοιπόν, μπορούμε να γράψουμε

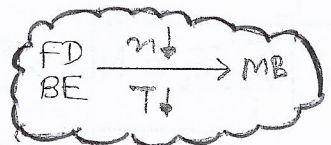
$$\bar{n}_i = \frac{1}{e^{\beta(E_i - \mu)} \pm 1}$$

$\begin{matrix} + \\ - \\ \hline \text{ή } 0 \end{matrix}$
 $\begin{matrix} \text{FD} \\ \text{BE} \\ \text{MB} \end{matrix}$

και η σχέση

$$\sum_i \bar{n}_i = N \quad \text{καθορίζει το } \mu$$

Οι στατιστικές FD και BE συγκλίνουν στη στατιστική MB:



• όταν η συγκέντρωση των σωματιδίων n είναι μικρή σε σχέση με τη λεγόμενη κριτική συγκέντρωση

$$n < n_Q \quad n_Q = \left(\frac{mk_B T}{2\pi \hbar^2} \right)^{3/2}$$

σε θερμοκρασία δωματίου ($T = 300\text{K}$), για τα πρωτόνια $n_Q \approx 1000 \text{ nm}^{-3}$, ενώ για τα ηλεκτρόνια $n_Q \approx 0.015 \text{ nm}^{-3}$.

• σε υψηλές θερμοκρασίες

Διότι @:

• όριο χαμηλής συγκέντρωσης $\Rightarrow N$ πολύ μικρός $\Rightarrow \bar{n}_i \ll 1, \forall i \Rightarrow$

$$e^{\beta(E_i - \mu)} \gg 1, \forall i$$

• όριο υψηλής θερμοκρασίας $\Rightarrow \beta = \frac{1}{k_B T}$ μικρό

\Downarrow

πολλές στάθμες υψηλής ενέργειας (και $E_i > \mu$) είναι κατειλημμένες

δηλαδή η κατανομή απλώνει ενεργειακά με μικρές πιθανότητες καταλήψεως \Rightarrow

$$\bar{n}_i \ll 1, \forall i \Rightarrow$$

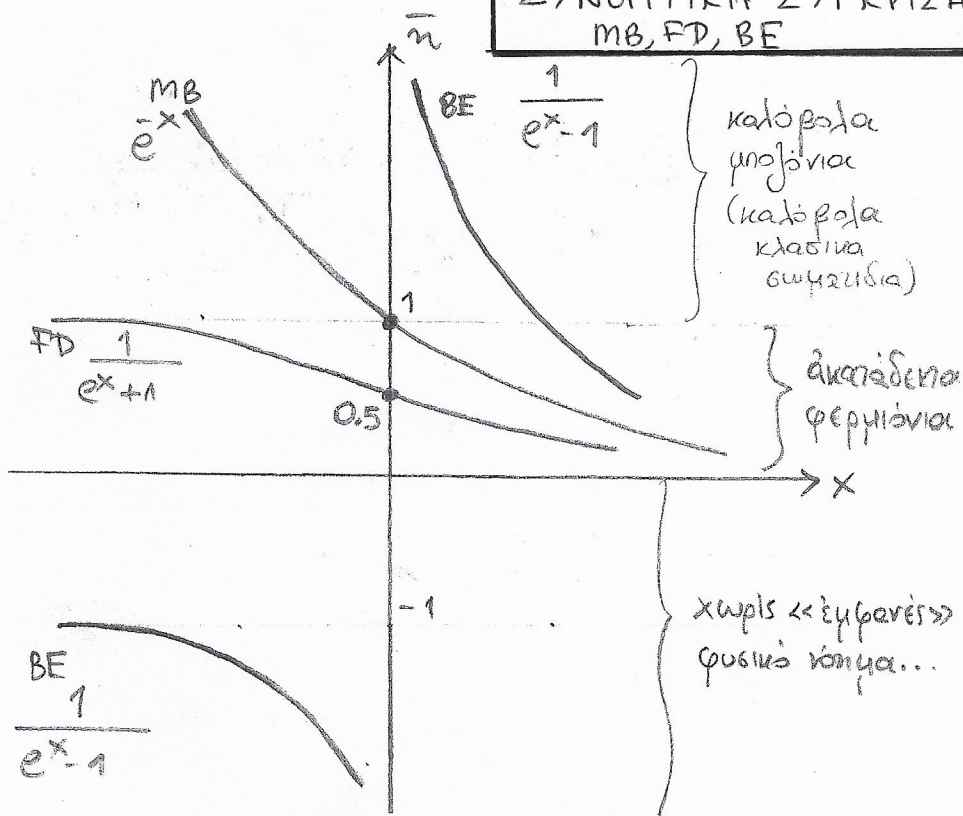
$$e^{\beta(E_i - \mu)} \gg 1, \forall i$$

Στις περιπτώσεις αυτές

$$\bar{n}_i = \frac{1}{e^{\beta(E_i - \mu)} \pm 1} \approx \frac{1}{e^{\beta(E_i - \mu)}}$$

δηλαδή οι FD ή BE συγκλίνουν στη MB.

ΣΥΝΟΠΤΙΚΗ ΣΥΓΚΡΙΣΗ
MB, FD, BE

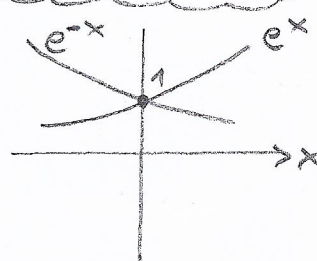


$$\bar{n}_i = \frac{1}{e^{\beta(E_i - \mu)} \pm 1} \begin{matrix} \pm 1 & \text{FD} \\ \mp 1 & \text{BE} \\ \neq 0 & \text{MB} \end{matrix}$$

$$\bar{n} = \frac{1}{e^{\beta(E - \mu)} \pm 1} \begin{matrix} \pm 1 \\ \mp 1 \\ \neq 0 \end{matrix}$$

$$x := \beta(E - \mu)$$

$$\bar{n} = \frac{1}{e^x \pm 1} \begin{matrix} \pm 1 \\ \mp 1 \\ \neq 0 \end{matrix}$$



MB $\bar{n} = \frac{1}{e^x} = e^{-x} > 0, \forall x$

$$\lim_{x \rightarrow +\infty} e^{-x} = 0$$

$$\lim_{x \rightarrow -\infty} e^{-x} = +\infty$$

FD $\bar{n} = \frac{1}{e^x + 1} > 0, \forall x$

$$\lim_{x \rightarrow +\infty} \frac{1}{e^x + 1} = 0$$

$$\lim_{x \rightarrow -\infty} \frac{1}{e^x + 1} = 1$$

BE $\bar{n} = \frac{1}{e^x - 1}$

$$x > 0 \Rightarrow e^x > 1 \Rightarrow e^x - 1 > 0 \Rightarrow \bar{n} > 0$$

$$\lim_{x \rightarrow 0^+} \frac{1}{e^x - 1} = +\infty \quad \lim_{x \rightarrow +\infty} \frac{1}{e^x - 1} = 0$$

$$x < 0 \Rightarrow e^x < 1 \Rightarrow e^x - 1 < 0 \Rightarrow \bar{n} < 0 !$$

$$\lim_{x \rightarrow 0^-} \frac{1}{e^x - 1} = -\infty \quad \lim_{x \rightarrow -\infty} \frac{1}{e^x - 1} = -1$$

χωρίς «έμφανείς»
φυσικά νόημα...

$$n_Q = \left(\frac{m k_B T}{2\pi \hbar^2} \right)^{3/2}$$

κβαντική
συγκέντρωση

$$\left(\frac{\text{kg} \cdot \text{s}^2}{\text{kg} \cdot \text{m} \cdot \text{s}^2 \cdot \text{m}} \right)^{3/2} = \frac{1}{\text{m}^3}$$

• πρωτόνια $m \approx 1.67 \cdot 10^{-27} \text{ kg}$ σε $T = 300 \text{ K}$

$$n_Q \approx \left(\frac{1.67 \cdot 10^{-27} \text{ kg} \cdot 1.38 \cdot 10^{-23} \text{ J} \cdot 300 \text{ K}}{2\pi \cdot 1 \cdot 10^{-68} \text{ J}^2 \text{ s}^2 \text{ K}} \right)^{3/2} \approx 1154 \cdot (10^{18})^{3/2} \frac{1}{\text{m}^3} \approx 10^3 \cdot 10^{27} \frac{1}{\text{m}^3} = 10^{30} \frac{1}{\text{m}^3}$$

$$n_Q \approx 10^{30} \frac{1}{\text{m}^3} = 10^{30} \frac{1}{10^{30} \text{ \AA}^3} = 10^{30} \frac{1}{10^{27} \text{ nm}^3} = 1 \frac{1}{\text{ \AA}^3} = 1000 \frac{1}{\text{nm}^3} = 10^{30} \frac{1}{10^6 \text{ cm}^3} = 10^{24} \frac{1}{\text{cm}^3}$$

• ηλεκτρόνια $m \approx 9.1 \cdot 10^{-31} \text{ kg}$ σε $T = 300 \text{ K}$

$$n_Q \approx \left(\frac{9.1 \cdot 10^{-31} \text{ kg} \cdot 1.38 \cdot 10^{-23} \text{ J} \cdot 300 \text{ K}}{2\pi \cdot 1 \cdot 10^{-68} \text{ J}^2 \text{ s}^2 \text{ K}} \right)^{3/2} \approx 14682 \cdot (10^{14})^{3/2} \frac{1}{\text{m}^3} \approx 15 \cdot 10^3 \cdot 10^{21} \frac{1}{\text{m}^3}$$

$$n_Q \approx 15 \cdot 10^{24} \frac{1}{\text{m}^3} = 15 \cdot 10^{24} \frac{1}{10^{30} \text{ \AA}^3} = 15 \cdot 10^{24} \frac{1}{10^{27} \text{ nm}^3} = 15 \cdot 10^{-6} \frac{1}{\text{ \AA}^3} = 15 \cdot 10^{-3} \frac{1}{\text{nm}^3} = 15 \cdot 10^{24} \frac{1}{10^6 \text{ cm}^3} = 15 \cdot 10^{18} \frac{1}{\text{cm}^3}$$

Συνοψίζοντας: πρωτόνια σε 300 K $n_Q \approx 10^{30} \frac{1}{\text{m}^3} = 10^{24} \frac{1}{\text{cm}^3} = 10^3 \frac{1}{\text{nm}^3} = 1 \frac{1}{\text{ \AA}^3}$

ηλεκτρόνια σε 300 K $n_Q \approx 15 \cdot 10^{24} \frac{1}{\text{m}^3} = 15 \cdot 10^{18} \frac{1}{\text{cm}^3} = 15 \cdot 10^{-3} \frac{1}{\text{nm}^3} = 15 \cdot 10^{-6} \frac{1}{\text{ \AA}^3}$

Cu πυκνότητα $\rho \approx 9 \frac{\text{g}}{\text{cm}^3} = 9000 \frac{\text{kg}}{\text{m}^3}$ $AB \approx 63.5$

σε 63.5 g έχουμε $6.022 \cdot 10^{23}$ άτομα

$$9 \text{ g} \cdot \frac{6.022 \cdot 10^{23} \text{ \AA} \text{ \AA} \text{ \AA}}{63.5} \longrightarrow 1 \text{ cm}^3$$

Κάθε άτομο Cu έχει 1 «ελεύθερο» ηλεκτρόνιο

$$n_{\text{ηλεκτρ}} \approx \frac{9}{63.5} \cdot 6.022 \cdot 10^{23} \frac{1}{\text{cm}^3} \approx 0.85 \cdot 10^{23} \frac{1}{\text{cm}^3} \gg 15 \cdot 10^{18} \frac{1}{\text{cm}^3} = n_Q$$

"Άρα τα ηλεκτρόνια του Cu δεν μπορούν να περιγραφούν κλασικά.